

TAREA COMPUTACIONAL 2 1s21 INVESTIGACIÓN DE OPERACIONES - ILN250

Profesores	:	Pablo Escalona R. – Rodrigo Mena B. - Rafael Favereau U. - Francisco Yuraszeck E.
Ayudantes	:	Katherine Álvarez - Martín Barra - Gabriel Gallardo - Macarena Jara - Paula Miranda Lucas Sanhueza
Fecha	:	Jueves 08 de Julio 2021
Entrega	:	Martes 03 de Agosto 2021 - 09:00 am

Instrucciones

- La tarea debe ser desarrollada en parejas, permitiéndose combinaciones entre los cinco paralelos indicados en el programa del curso.
 - El informe de entrega deberá incluir Resumen, Introducción, Formulación del Modelo, Enfoques de Solución (incluido pseudocodigos), y Conclusiones. Solo si es necesario se pueden incluir Anexos. La extensión máxima del informe es 10 páginas.
 - Los supuestos utilizados para el desarrollo deben ser especificados.
 - Se deberá entregar un archivo .rar con el nombre “*Tarea2OR_Apellido1_Apellido2.rar*”, que contenga tanto el informe en PDF como los archivos de los programas utilizados.
 - **No se aceptarán tareas fuera de plazo.**
-

Enunciado

Considere un distribuidor que suministre un solo tipo de artículo a varios clientes con demanda independiente. Suponemos que la demanda por unidad de tiempo sigue una distribución normal de media μ y varianza σ^2 .

El distribuidor utiliza una política de revisión continua (Q, r) con full-backorders y lead time determinístico, donde se coloca una cantidad de pedido de tamaño constante, Q , siempre que la posición de inventario (es decir, inventario disponible más la demanda menos pedidos pendientes) cae por debajo de un punto de pedido fijo, r , que llega $L > 0$ unidades de tiempo más tarde. Esta política de inventario es ilustrada en la Figura 1.

La figura 1 muestra que en el tiempo t_1 la posición del inventario alcanza r , y se pide una cantidad Q , que llega en $t_1 + L$. Lo mismo ocurre en los tiempos t_2 , t_3 y t_4 . Hay que tener en cuenta que la posición del inventario y el inventario disponible son iguales en el intervalo $[t_0, t_1]$, $[t_2 + L, t_3]$, y $[t_3 + L, t_4]$

Para completar la política de inventarios, el distribuidor asume un nivel de servicio α_L definido como la probabilidad de que no ocurra un quiebre de stock en el ciclo de re-abastecimiento.

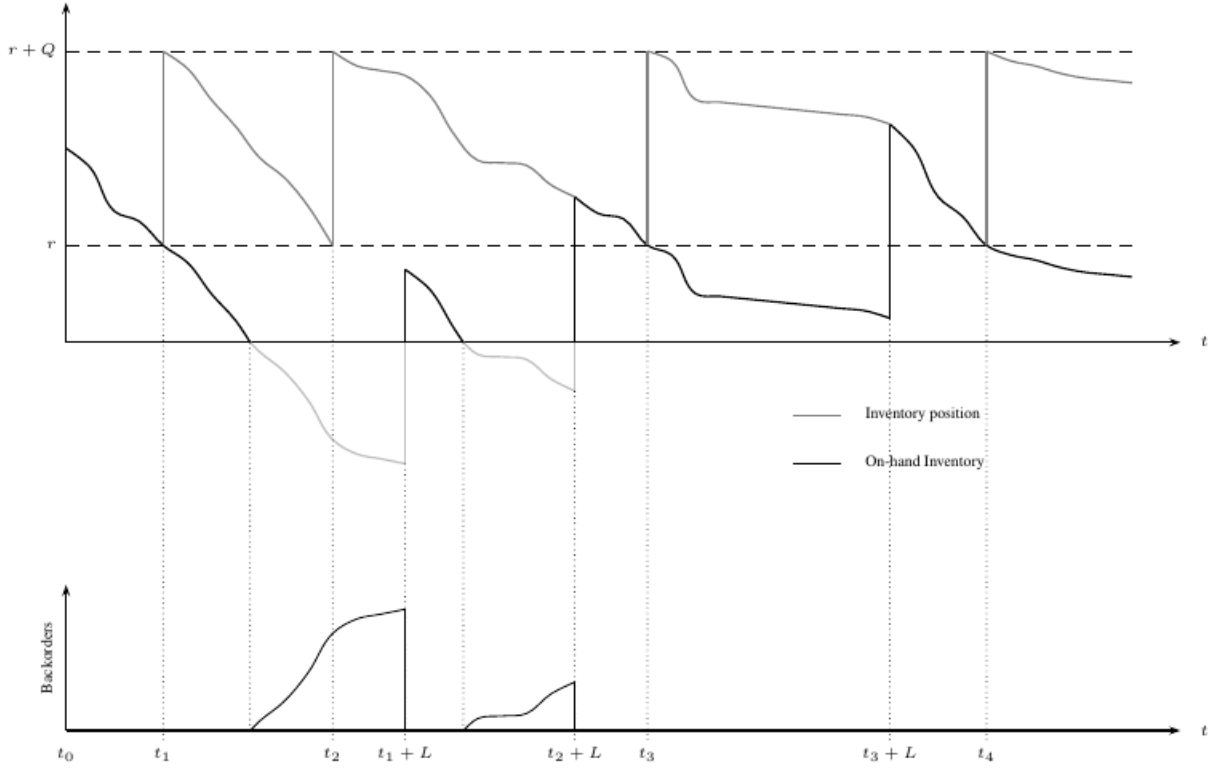


Figura 1: Política de revisión continua (Q, r) con full-backorder y lead time determinístico

El objetivo del distribuidor es determinar los parámetros óptimos (Q, r) , que minimizan la suma de los costos de pedido y almacenamiento por unidad de tiempo, y aseguran un nivel de servicio pre-establecido $\bar{\alpha}_L \in (0, 5, 1)$.

El *modelo verdadero* para determinar los parámetros óptimos de una política de revisión continua (Q, r) con full-backorder, lead time determinístico y que aseguren un nivel de servicio $\bar{\alpha}_L$ bajo demanda normal, es el siguiente:

$$\alpha_L\text{-SLC} : \quad \min_{Q, r} \quad S \frac{\mu}{Q} + h \left(\frac{Q}{2} + r - \mu L + B(Q, r) \right) \quad (1)$$

$$\text{s.t:} \quad r \geq \mu L + z_{\bar{\alpha}_L} \sqrt{\sigma^2 L} \quad (2)$$

$$Q \geq Q_{EOQ}, \quad (3)$$

donde S es el costo unitario de emisión, h es el costo de almacenamiento por unidad y unidad de tiempo, $B(Q, r)$ son los backorders, y $Q_{EOQ} = \sqrt{\frac{2\mu S}{h}}$ es cantidad de pedido de lote económico. Note que $\{S, h, L, \mu, \sigma^2\}$ son parámetros y (Q, r) son las variables de $\alpha_L\text{-SLC}$.

Bajo demanda normal sabemos que:

$$B(Q, r) = \frac{\sigma^2 L}{Q} \left(H \left(\frac{r - \mu L}{\sqrt{\sigma^2 L}} \right) - H \left(\frac{r - \mu L + Q}{\sqrt{\sigma^2 L}} \right) \right),$$

donde $H(x) = \frac{1}{2} ((x^2 + 1)(1 - \Phi(x)) - x\varphi(x))$ con $\Phi(x)$ y $\varphi(x)$ son la *función de distribución* y la *fun-*

ción de densidad de una normal de media 0 y varianza 1 (Axsäter [2015]). Note que $B(Q, r)$ es convexo en Q y r (Zipkin [1986]). En consecuencia, es fácil demostrar que la función objetivo en (1) es función convexa porque es suma de funciones convexas. Además, de acuerdo con (Zipkin [1986]), la función objetivo en (1) es estrictamente creciente en r .

En (1) el primer término es el costo de emisión por unidad de tiempo y el segundo término es el costo de almacenamiento por unidad de tiempo. La restricción (2) corresponde a la linealización de $F_{D(L)}(r) = \mathbb{P}(D(L) \leq r) \geq \bar{\alpha}_L$, donde $D(L) \sim N(\mu L, \sigma^2 L)$ es la demanda durante el lead time. Así, $z_{\bar{\alpha}_L} = \Phi^{-1}(\bar{\alpha}_L)$ es función de distribución inversa de una normal de media 0 y varianza 1 evaluada en $\bar{\alpha}_L$. La restricción (3) evita escribir $Q \geq 0$, lo que produciría una inconsistencia con (1).

El modelo α_L -SLC es un problema de optimización convexo porque estamos minimizando una función convexa sobre un conjunto convexo, en este caso, un poliedro. Consecuentemente, α_L -SLC puede ser resuelto mediante condiciones KKT o usando un solver no-lineal convexo como MINOS.

En esta tarea queremos resolver α_L -SLC, mediante condiciones KKT y también usando el solver no-lineal convexo MINOS, para un conjunto de prueba. El conjunto de prueba se indica en la Tabla 1.

Se solicita:

1. Programar α_L -SLC en lenguaje de programación matemática AMPL y determinar Q^* , r^* y Z_α^* , donde Z_α^* es función objetivo óptima de α_L -SLC, para cada experimento del conjunto de prueba.
2. Determine las condiciones KKT de α_L -SLC.
3. Determinar Q^* , r^* y Z_α^* usando las condiciones KKT para cada experimento del conjunto de prueba. El sistema de ecuaciones, que se deriva de las condiciones KKT, es fácilmente reducible a una ecuación y una incógnita para los casos posibles en que se activan o desactivan las restricciones. Esta ecuación debe ser resuelta usando Python.

Hint

- En AMPL usar librería **amplgsl.dll** para las funciones $\Phi(x)$, $\varphi(x)$ y $\Phi^{-1}(\bar{\alpha}_L)$. Estas funciones son `gsl.cdf.ugaussian_P`, `gsl.ran.ugaussian_pdf` y `gsl.cdf.ugaussian.Pinv`, respectivamente. Puede encontrar mas información de estas funciones en el sitio web: <http://ampl.github.io/amplgsl/ran-gaussian.html>.
- Para determinar las condiciones KKT considere que: $H'(x) = -G(x)$, donde $G(x) = \varphi(x) - x(1 - \Phi(x))$.
- Note que la función objetivo en (1) es estrictamente creciente en r por lo tanto, la solución optima jamás estará en el interior de la región factible del problema α_L -SLC. Puede dibujar la región factible de α_L -SLC, para comprender como se activan o desactivan las restricciones en los diferentes casos asociadas a las condiciones KKT.

$\bar{\alpha}_L$	h	S	μ	σ^2	L
0.99	1.25	250	200	6400	2
0.99	1.25	250	150	3600	2
0.99	1	250	200	6400	2
0.99	1	250	150	3600	2
0.95	1.25	250	200	6400	2
0.95	1.25	250	150	3600	2
0.95	1	250	200	6400	2
0.95	1	250	150	3600	2
0.99	0.6	250	200	6400	2
0.99	0.6	250	150	3600	2
0.99	0.1	250	200	6400	2
0.99	0.1	250	150	3600	2
0.95	0.6	250	200	6400	2
0.95	0.6	250	150	3600	2
0.95	0.1	250	200	6400	2
0.95	0.1	250	150	3600	2
0.99	1.25	250	50	400	2
0.99	1.25	250	10	16	2
0.99	1	250	50	400	2
0.99	1	250	10	16	2
0.95	1.25	250	50	400	2
0.95	1.25	250	10	16	2
0.95	1	250	50	400	2
0.95	1	250	10	16	2
0.99	0.6	250	50	400	2
0.99	0.6	250	10	16	2
0.99	0.1	250	50	400	2
0.99	0.1	250	10	16	2
0.95	0.6	250	50	400	2
0.95	0.6	250	10	16	2
0.95	0.1	250	50	400	2
0.95	0.1	250	10	16	2

Cuadro 1: Conjunto de prueba